

## ОДНОМЕРНАЯ НЕУСТОЙЧИВОСТЬ И ЗАТУХАНИЕ ДЕТОНАЦИИ

*P. M. Зайдель, Я. Б. Зельдович*

(Москва)

Вследствие сильной зависимости скорости химической реакции от температуры простая схема [10<sup>2</sup>] стационарной детонационной волны оказывается неустойчивой [4-7], что подтверждается опытом в газах [8] и в жидкких и твердых взрывчатых веществах (ВВ) [9].

До сих пор рассматривались возмущения, сопровождающиеся искривлением фронта ударной волны. На различных участках фронта при этом возникают различные температуры. Нарастание таких возмущений приводит к столкновению отдельных участков ударной волны и возникновению отдельных очагов зажигания, т. е. к спиновой детонации. Ниже рассматривается устойчивость детонации по отношению к изменению расстояния между ударной волной и зоной химической реакции, что вызывает также изменение всего поля скорости и величин, характеризующих состояние газа (давления, температуры и т. п.). Однако фронт волны, так же как и поверхность, на которой идет реакция, остаются плоскими, а направление скорости в рассматриваемом возмущении не изменяется; эти возмущения назовем «одномерными». Такая постановка вопроса представляет интерес несмотря на уже известную неустойчивость по отношению к косым возмущениям. В узкой трубе с абсолютно жесткими стенками согласно [7] детонация становится устойчивой относительно косых возмущений. При этом «одномерная» неустойчивость может проявиться в действительности; она существенно изменяет условия протекания химической реакции и может привести к затуханию детонации.

До вычислений (см. § 2) приведем качественные соображения в пользу предположения о возможности одномерной неустойчивости при достаточно большой теплоте активации реакции.

**§ 1. Напомним исходные предположения.** Воспользуемся идеализированной схемой (фиг. 1) с узкой зоной реакции [4, 6].

В точке *A* происходит сжатие газа ударной волной, в точке *B* — химическая реакция. На *p*, *V*-диаграмме (фиг. 2) начальное состояние (правее *A*) обозначено 0, состояние сжатого газа (между *A* и *B*) — *S*, состояние продуктов горения (левее *B*) — *J*.

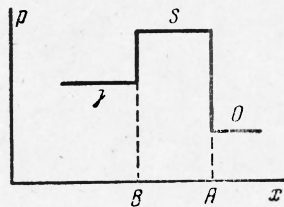
Предполагается, что тепло реакции выделяется мгновенно в точке *B*. На отрезке *AB* газ находится в состоянии периода индукции. Выделением тепла во время периода индукции пренебрегаем. Строго такая схема может быть обоснована для цепной реакции, у которой во время периода индукции происходит накопление активных центров без выделения тепла, а взрыв происходит после достижения критической концентрации *n<sub>c</sub>* активных центров. Тогда из уравнения типа

$$\frac{dn}{dt} = nf(T) \quad (1.1)$$

с условиями *n* = *n<sub>0</sub>* в *A* и *n* = *n<sub>c</sub>* в *B* следует условие воспламенения частиц газа (здесь и в дальнейшем индекс *c* означает «химический»).

$$\int f(T) dt = \ln \left( \frac{n_c}{n_0} \right) = \text{const} = c \quad (1.2)$$

В этой формуле в общем случае для данной частицы *T* = *T*(*t*). В частном случае стационарного режима *f*(*T<sub>0</sub>*) = 0, на участке от *A* до *B* тем-



Фиг. 1

тература  $T_s$  постоянна, поэтому период индукции равен

$$\tau = c / f(T_s) \quad (1.3)$$

Расстояние от  $A$  до  $B$  равно  $L = u\tau$ , где  $u$  — скорость газа в системе координат, в которой фронт детонации покоятся.

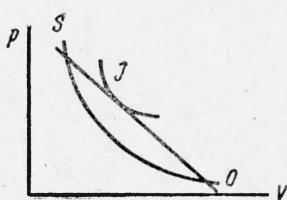
В случае не цепной реакции, моно- или бимолекулярной в период индукции (т. е. между  $A$  и  $B$ ) происходит постепенное повышение температуры, и, строго говоря, нет резкой границы  $B$ . Однако<sup>1</sup>, если  $E / RT_s \gg 1$ , то решение будет очень похоже на фиг. 1. В частности, подъем температуры перед точкой  $B$  порядка  $\Delta T \sim RT_s^2 / E$ , так что  $\Delta T \ll T_s$  (такому повышению температуры соответствует увеличение скорости реакции в  $e$  раз при переходе от  $A$  к  $B$ ). Спрашивается: не может ли по сжатому газу в зоне  $AB$  пройти детонационная волна<sup>2</sup> (не затрагивая причины возникновения такой волны); при этом в координатах  $x, p$  получилась бы картина фиг. 3; соответствующие состояния на плоскости  $pV$  показаны на фиг. 4. В этой картине зона реакции находится в точке  $B'$ . В зоне  $A'B'$  находится газ, сжатый дважды двумя последовательными ударными волнами  $A$  и  $A'$  или  $OS$  и  $SS'$  на фиг. 4. После реакции достигается новое состояние Жуге  $J'$ , за которым следует расширение. Картина, представленная на фиг. 4, существенно нестационарна: скорость волны  $A'$  больше скорости волны  $A$ , так что, если первоначально комплекс  $A'B'$  возник в точке  $B$  фиг. 1, то вскоре за время порядка  $\tau$  точка  $A'$  догонит  $A$ , и картина изменится.

Для того чтобы картина, представленная на фиг. 3, была возможна (как промежуточное состояние) в течение некоторого времени, очевидно, количество вещества в зоне  $A'B'$  должно быть весьма мало по сравнению с общим количеством вещества в зоне  $AB$  фиг. 1. Иными словами, период индукции  $\tau'$  двухкратно сжатого вещества должен быть мал по сравнению с периодом индукции в нормальной схеме. Только в этом случае зона  $A'B'$  может сформироваться за время, составляющее малую долю времени жизни состояния с двумя волнами (фиг. 3).

Нестационарность этого состояния не препятствует стандартному рассмотрению волны  $A'B'$ , если  $\tau' \ll \tau$ . Но  $\tau'$  относится к температуре  $T_{s'}$ , которая выше  $T_s$ . При показателе адиабаты  $\gamma = 1.3$  приблизительно  $T_{s'} = 2.2 T_s$ . Однако при большой теплоте активации такого различия между  $T_{s'}$  и  $T_s$  оказывается достаточно для того, чтобы было  $\tau' \ll \tau$ . Например, если  $E / RT_s = 11$ , то  $E / RT_{s'} = 5$  и  $\tau' = e^{5-11} \tau = \tau / 400$ .

<sup>1</sup> Эта величина стоит в показателе в формуле для скорости химической реакции:  $w = \exp(-E / RT)$ . В случае цепной реакции будем также предполагать, что  $f(T) \sim \exp \sim (-E / RT)$ , т. е. в обоих случаях периоды индукции  $\tau \sim \exp(E / RT_s)$ .

<sup>2</sup> Косая детонационная волна, бегущая по ударно-сжатому газу, рассматривалась Б. В. Войцеховским в схеме спиновой детонации [10].



Фиг. 2

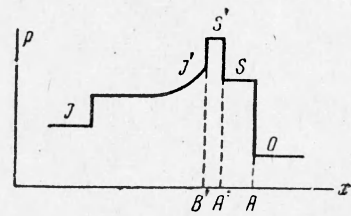
В случае не цепной реакции, моно- или бимолекулярной в период индукции (т. е. между  $A$  и  $B$ ) происходит постепенное повышение температуры, и, строго говоря, нет резкой границы  $B$ . Однако<sup>1</sup>, если  $E / RT_s \gg 1$ , то решение будет очень похоже на фиг. 1. В частности, подъем температуры перед точкой  $B$  порядка  $\Delta T \sim RT_s^2 / E$ , так что  $\Delta T \ll T_s$  (такому повышению температуры соответствует увеличение скорости реакции в  $e$  раз при переходе от  $A$  к  $B$ ). Спрашивается: не может ли по сжатому газу в зоне  $AB$  пройти детонационная волна<sup>2</sup> (не затрагивая причины возникновения такой волны); при этом в координатах  $x, p$  получилась бы картина фиг. 3; соответствующие состояния на плоскости  $pV$  показаны на фиг. 4. В этой картине зона реакции находится в точке  $B'$ . В зоне  $A'B'$  находится газ, сжатый дважды двумя последовательными ударными волнами  $A$  и  $A'$  или  $OS$  и  $SS'$  на фиг. 4. После реакции достигается новое состояние Жуге  $J'$ , за которым следует расширение. Картина, представленная на фиг. 4, существенно нестационарна: скорость волны  $A'$  больше скорости волны  $A$ , так что, если первоначально комплекс  $A'B'$  возник в точке  $B$  фиг. 1, то вскоре за время порядка  $\tau$  точка  $A'$  догонит  $A$ , и картина изменится.

Для того чтобы картина, представленная на фиг. 3, была возможна (как промежуточное состояние) в течение некоторого времени, очевидно, количество вещества в зоне  $A'B'$  должно быть весьма мало по сравнению с общим количеством вещества в зоне  $AB$  фиг. 1. Иными словами, период индукции  $\tau'$  двухкратно сжатого вещества должен быть мал по сравнению с периодом индукции в нормальной схеме. Только в этом случае зона  $A'B'$  может сформироваться за время, составляющее малую долю времени жизни состояния с двумя волнами (фиг. 3).

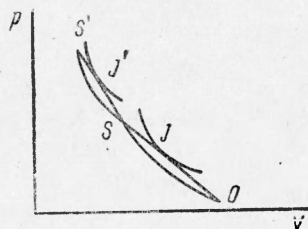
Нестационарность этого состояния не препятствует стандартному рассмотрению волны  $A'B'$ , если  $\tau' \ll \tau$ . Но  $\tau'$  относится к температуре  $T_{s'}$ , которая выше  $T_s$ . При показателе адиабаты  $\gamma = 1.3$  приблизительно  $T_{s'} = 2.2 T_s$ . Однако при большой теплоте активации такого различия между  $T_{s'}$  и  $T_s$  оказывается достаточно для того, чтобы было  $\tau' \ll \tau$ . Например, если  $E / RT_s = 11$ , то  $E / RT_{s'} = 5$  и  $\tau' = e^{5-11} \tau = \tau / 400$ .

Фиг. 4

адиабаты  $\gamma = 1.3$  приблизительно  $T_{s'} = 2.2 T_s$ . Однако при большой теплоте активации такого различия между  $T_{s'}$  и  $T_s$  оказывается достаточно для того, чтобы было  $\tau' \ll \tau$ . Например, если  $E / RT_s = 11$ , то  $E / RT_{s'} = 5$  и  $\tau' = e^{5-11} \tau = \tau / 400$ .



Фиг. 3



Фиг. 4

адиабаты  $\gamma = 1.3$  приблизительно  $T_{s'} = 2.2 T_s$ . Однако при большой теплоте активации такого различия между  $T_{s'}$  и  $T_s$  оказывается достаточно для того, чтобы было  $\tau' \ll \tau$ . Например, если  $E / RT_s = 11$ , то  $E / RT_{s'} = 5$  и  $\tau' = e^{5-11} \tau = \tau / 400$ .

Строго говоря, нужно учесть, что в момент, когда возникает состояние  $A'B'$ , около  $B$  в точку  $A'$  поступает газ, который уже прошел почти весь свой путь индукции при  $T_{s'}$ . При подходе  $A'B'$  к  $A$  степень химической подготовки газа, попадающего в  $A'$ , уменьшается до нуля. Следовательно, расстояние между  $A'$  и  $B'$  меняется от нуля до величины, соответствующей  $\tau'$ , вычисленному по  $T_{s'}$ . Таким образом, комплекс  $A'B'$  не точно стационарен, расстояние между  $A'$  и  $B'$  медленно растет за то время, пока комплекс проходит путь от  $B$  до  $A$ . Это отклонение от стационарности мало, если  $\tau'$  мало по сравнению с  $\tau$ .

Рассмотрим возмущение противоположного типа, наложенное на нормальную картину фиг. 1. Предположим, что по каким-то причинам зона  $AB$  исчезла и с некоторого момента в точке  $C$  (фиг. 5) граничат продукты горения в состоянии  $J$  и газ в начальном состоянии  $O$ .

Что произойдет? Восстановится ли картина фиг. 1 и за какое время? Очевидно, произойдет

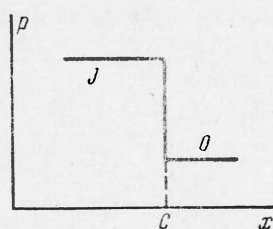
распад разрыва; получится состояние типа фиг. 6. При этом по газу пойдет ударная волна  $D$ , переводящая газ в состояние  $S''$ . Эта волна гораздо слабее волн  $A$  нормальной схемы. В самом деле,  $p_S \approx 2p_J$ , тогда как  $p_{S''} < p_J$  ( $p_{S''} \approx 0.8p_J$  при  $\gamma = 1.3$ ). Химическая реакция начнется лишь по истечении периода индукции  $\tau''$ , соответствующего состоянию  $S''$  и температуре  $T_{S''}$ . Химическая реакция приведет в свою очередь к усилению волны. Однако надо иметь в виду, что  $T_{S''} < T_S$ , и, следовательно,  $\tau'' \gg \tau$ . Поэтому вполне вероятна такая ситуация,

потери (теплоотдача стенкам и т. п.) за большое время  $\tau''$  приведут к ликвидации самовоспламенения и к затуханию детонации. Это вполне возможно даже в том случае, когда потерями за время  $\tau$ , т. е. в нормальном режиме, можно пренебречь.

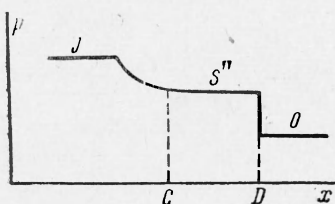
Итак, при сильной зависимости скорости химической реакции от температуры нормальный режим неустойчив относительно больших возмущений: возможно появление второй волны с почти удвоенным давлением

и возможно затухание детонации. В рассуждениях, приведенных выше, не затрагивались причины, вызывающие сильные возмущения, которые уже рассматривались. К этому вопросу целесообразно подойти с другой стороны, а именно рассмотреть (сперва также качественно) устойчивость нормальной картины относительно сколь угодно малых возмущений. Такие возмущения при наличии неустойчивости могут нарастать, начиная хотя бы с молекулярных флуктуаций.

В нормальной картине (фиг. 1) фронт реакции  $B$  движется со скоростью  $u$  относительно газа, находящегося в состоянии  $S$ . Соответствующая массовая скорость горения  $m_0 = p_S \cdot u$  г/см<sup>2</sup>сек. Предположим, что в момент  $t_0$  величина  $m$  подверглась малому изменению, заменена на  $m_1 = m_0 + \Delta m$ . Это изменение вызовет перестройку картины движения, так как состояния слева и справа от точки  $B$  при  $t \leq t_0$  представляли собой решения уравнений гидродинамики с условием сшивания, в которое входило  $m = m_0$ . Если при  $t \geq t_0$  задано  $m = m_1$ , а состояние при  $t = t_0$  соответствовало  $m = m_0$ , то при  $t > t_0$  произойдет распад разрыва, вызванный несоответствием начального состояния и условия сшивания.



Фиг. 5



Фиг. 6

Положим для определенности  $\Delta m > 0$ . Влево и вправо от  $B$  пойдут волны сжатия, так как увеличение  $m$  вызовет повышение давления. Амплитуда этих волн, очевидно, пропорциональна  $\Delta m$ , так что при малом  $\Delta m$  волны можно рассматривать как звуковые. На фиг. 7  $A_1$  представляет собой фронт звуковой волны в сжатом газе,  $D_1$  то же для волны, распространяющейся в продуктах горения. В продуктах горения можно еще различить энтропийный разрыв  $C_1$  между продуктами, образовавшимися до  $t_0$  и после  $t_0$ .  $B_1$  есть новое положение фронта реакции. Рассматривается момент времени, когда волна  $A_1$  не достигла  $A$ , для чего нужно

$$t - t_0 < \frac{u}{c_s - u} \tau$$

где  $c_s$  — скорость звука в состоянии  $S$ .

Теперь рассмотрим ключевой вопрос: какое обратное влияние окажет такая перестройка потока на химическую реакцию? При  $t < t_0$  каждая частица проходила свой период индукции при постоянной температуре  $T_S$ . Следовательно, период индукции всех частиц был одинаков и равнялся  $\tau = \tau_0 = c / f(T_S)$ . В ударной волне в точке  $A$  частицы подвергаются

сжатию одна за другой в темпе, характеризуемом  $m_0$ . Так как период индукции всех частиц одинаков, то они в том же темпе и сгорают. При  $t > t_0$  каждая частица подвергается сперва ударному сжатию до состояния  $S$ , а затем дополнительному слабому сжатию до состояния  $S_1$  (фиг. 7). Легко найти момент  $t_2$ , когда произошло дополнительное сжатие той частицы, которая попадает в  $B$  в момент  $t_1$ . Момент  $t_2$  определяется встречей траектории частицы со звуковой волной. Удобно пользоваться координатами  $\xi$ ,  $t$ , где

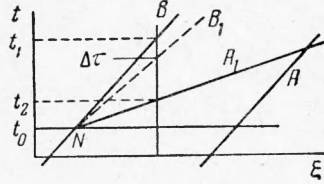
$$\xi = \int \rho dx$$

— лагранжева координата частицы (фиг. 8). В этих координатах траектория частицы изображается вертикальной прямой. Ударная волна  $A$  идет с наклоном  $d\xi / dt = m_0$ , с тем же наклоном идет невозмущенный фронт горения  $B$ . В момент  $t_0$  от  $B$  отходит звуковая волна  $A_1$ , у которой  $d\xi / dt = c_s \rho_s$ , где  $c$  — скорость звука,  $\rho$  — плотность, индекс указывает состояние вещества. Если  $c_s \rho_s > m_0$  (так как  $c_s > u$ ), то линия  $A_1$  идет более полого, чем линия  $A$ , и пересекает ее. Из графика следует, что

$$t_2 - t_0 = (t_1 - t_0) \frac{m_0}{c_s \rho_s} \quad (1.4)$$

Отсюда

$$t_1 - t_2 = (t_1 - t_0) \frac{c_s - u}{c_s} \quad (1.5)$$



Фиг. 8

Последняя величина дает время пребывания частицы в состоянии  $S_1$ . Но в состоянии  $S_1$  частица химически созревает быстрее. Поэтому при  $t_1 > t_0$  период индукции оказывается зависящим от  $t_1$ . Так как время пребывания в  $S_1$  пропорционально  $t_1 - t_0$ , то изменение периода индукции также пропорционально  $t_1 - t_0$ . Это изменение, кроме того, пропорционально и амплитуде волны, т. е.

$$\tau(t_1) = \tau_0 - k(t_1 - t_0) \Delta m \quad (1.6)$$

При постоянной (равной  $m_0$ ) скорости сжатия вещества волной  $A$  и линейно со временем меняющемся  $\tau$  произойдет, очевидно, изменение скорости горения. На фиг. 8 показан отрезок  $\Delta\tau = k(t_1 - t_0) \Delta m$ .

Линейная зависимость  $\Delta\tau$  от  $t_1 - t_0$  означает, что между линиями  $NB$  и  $NB_1$  есть угол, пропорциональный  $\Delta m$ . Легко установить, что

$$m_{1c} = \frac{m_0}{1 + d\tau/dt} = \frac{m_0}{1 - k\Delta m} \approx m_0 + m_0 k \Delta m \quad (1.7)$$

Таким образом, навязанное извне изменение скорости горения  $\Delta m$  вызывает, в силу изменения условий протекания химической реакции (сокращения периода индукции), изменение скорости горения

$$\Delta m_c = m_{1c} - m_0 = m_0 k \Delta m \quad (1.8)$$

Выдвигается критерий: нормальный процесс устойчив при

$$\frac{\Delta m_c}{\Delta m} = \alpha < 1 \quad (\alpha = m_0 k) \quad (1.9)$$

При обратном знаке неравенства процесс неустойчив. Величина  $\alpha$  содержит в качестве множителя  $E/RT_s$ , так как в расчет входит производная функции  $f(T)$  по температуре при  $T = T_s$ . Следовательно, увеличивая  $E/RT_s$ , всегда можно сделать  $\alpha > 1$ .

Можно рассуждать так, что внесенное извне возмущение  $\mu = \Delta m$  вызовет химическое изменение  $\Delta m = \alpha\mu$ , последнее вызовет изменение  $\alpha^2\mu$  и т. д., возмущение нарастает в геометрической прогрессии. Симптоматично, однако, что это рассуждение не дает никакой величины размерности времени для процесса нарастания возмущений. Время  $\tau$  не играет такой роли, так как условие

$$t_1 - t_0 < \frac{u}{c_s - u} \tau$$

лишь ограничивает область применимости проведенного рассмотрения. Но развитие возмущений происходит локально около точки  $B$  и момента  $t_0$ , так что величина  $\tau$  не дает никакой нижней границы для времени возрастания возмущений.

Проведенное суждение привело к бесконечной скорости нарастания возмущений. Такой результат получился потому, что время реакции считалось бесконечно малым, вследствие этого фронт горения  $B$  на фиг. 1 получился резким, и, следовательно, бесконечная скорость нарастания возмущений есть результат чрезмерной идеализации химической реакции. Следует полагать, что аккуратное рассмотрение реакции, как, например, в [6, 7], или аналогичное для цепной реакции даст конечное значение  $\omega$  в законе  $e^{\omega t}$  нарастания возмущений; при этом значение  $\omega$  будет порядка  $1/\tau_2$  ( $\tau_2$  — время реакции), а не порядка  $1/\tau$  ( $\tau$  — период индукции); знак  $\omega$  с хорошей точностью определится критерием, выведенным выше.

§ 2. При нахождении параметра  $\alpha$ , входящего в соотношение (1.9), для облегчения выкладок будем пользоваться обозначениями работы [6]. Представим себе, что фронт горения самопроизвольно стал двигаться влево, его отклонение от плоскости  $x = L$  обозначим через  $\varepsilon_2(t)$ . По веществу в областях I и 2 пойдут слабые возмущения (звуковые волны), в которых все величины будут немного изменены. Из законов сохранения имеем связь между величинами возмущений слева и справа от разрыва

$$\begin{aligned} V'_2(h_2 p_2 + p_1) + p'_2(h_2 V_2 - V_1) - V'_1(h_1 p_1 + p_2) - p'_1(h_1 V_1 - V_2) &= 0 \\ v'_2 - v'_1 &= \frac{1}{2j} [p'_1 - p'_2 - j^2 (V'_1 - V'_2)] \quad (h = \frac{\gamma+1}{\gamma-1}) \\ \frac{v'_1}{v_1} - \frac{v'_2}{v_2} &= \left( \frac{1}{v_1} - \frac{1}{v_2} \right) \frac{\partial \varepsilon_2}{\partial t} + \frac{V'_1}{V_1} - \frac{V'_2}{V_2} \end{aligned} \quad (2.1)$$

Здесь  $j = \rho_0 v_0 = \rho_1 v_1 = \rho_2 v_2$  — поток вещества при отсутствии возмущений,  $V = 1/\rho$  — удельный объем, газ считаем идеальным с показателем изэнтропы  $\gamma$ . В области химпика величины в звуковой волне,

идущей справа налево, связаны соотношениями

$$-\frac{v_1'}{c_1} = \frac{p_1'}{\rho_1 c_1^2} = -\frac{V_1'}{V_1} \quad (2.2)$$

В продуктах горения помимо звуковой волны слева направо распространяется вместе с газом энтропийное возмущение, в котором отличны от нуля только возмущения плотности и энтропии запишем

$$\frac{v_2'}{c_2} = \frac{p_2'}{\rho_2 c_2^2} = -\frac{V_2''}{V_2}, \quad V_2' = V_2'' + V_2''' \quad (2.3)$$

Условия (2.4, 2.2, 2.3) позволяют все величины выразить через  $\partial \varepsilon_2 / \partial t$ .

Период индукции зависит от эффективных значений давления и температуры при прохождении частицей зоны химпика. Соответствующее условие для малых возмущений имеет вид [6]

$$v_1 \int_{t_1}^{t_1+\tau} \left( M \frac{p_1'}{p_1} + N \frac{T_1'}{T_1} - \frac{v_1'}{v_1} \right) dt' - \varepsilon_1(t_1) + \varepsilon_2(t_1 + \tau) = 0 \quad (2.4)$$

$$M = \frac{\partial \ln f}{\partial \ln p}, \quad N = \frac{\partial \ln f}{\partial \ln T}$$

Здесь  $t_1$  — момент прохождения данной частицей фронта ударной волны, который при этом находился в точке  $x = \varepsilon_1(t_1)$ ;  $f(p, T)$  — функция, характеризующая зависимость периода индукции от давления и температуры (производные берутся при  $p = p_1$ ,  $T = T_1$ ). Будем считать, что  $\varepsilon_1 = 0$ ; это возможно, если звуковая волна не дошла до точки  $x = 0$ . Предположим, что возмущение фронта горения началось в момент  $t = 0$ , сигнал об этом дойдет до фронта ударной волны за время

$$t_* = \frac{v_1}{c_1 - v_1} \tau$$

Для моментов  $t_1 < t_*$  условие  $\varepsilon_1 = 0$  можно считать выполненным. В момент  $t' > 0$  звуковой сигнал от фронта горения находится в точке

$$x(t') = v_1 \tau - (c_1 - v_1) t' \quad (2.5)$$

Частица, которой предстоит сгореть в момент  $t$ , должна пройти через фронт ударной волны в момент  $t_1 = t - \tau$ . В дальнейшем траектория этой частицы описывается уравнением

$$x(t') = v_1(t' - t_1) = v_1 \tau + v_1(t' - t) \quad (2.6)$$

Встреча данной частицы с фронтом звуковой волны произойдет в момент  $t'$ , определяемый равенством выражений (2.5) и (2.6); получим

$$t' = (v_1 / c_1) t \quad (2.7)$$

В зоне повышенного давления рассматриваемая частица будет находиться в течение времени

$$\Delta t = t - t' = \left( 1 - \frac{v_1}{c_1} \right) t \quad (2.8)$$

В интеграле (2.4) все величины считаем кусочно-постоянными. Тогда, имея в виду, что  $\varepsilon_1 = 0$ , получим

$$v_1 \left( M \frac{p_1'}{p_1} + N \frac{T_1'}{T_1} - \frac{v_1'}{v_1} \right) \left( 1 - \frac{v_1}{c_1} \right) t + \varepsilon_2(t) = 0 \quad (2.9)$$

В случае идеального газа имеем

$$pV = \text{const } T, \quad \frac{p'}{p} + \frac{V'}{V} = \frac{T'}{T} \quad (2.10)$$

Поэтому (2.9) можно записать так

$$v_1 \left[ (M + N) \frac{p_1'}{p_1} + N \frac{V_1'}{V_1} - \frac{v_1'}{v_1} \right] \left( 1 - \frac{v_1}{c_1} \right) t + \varepsilon_2(t) = 0 \quad (2.11)$$

Продифференцируем это равенство по времени

$$v_1 \left[ (M + N) \frac{p_1'}{p_1} + N \frac{V_1'}{V_1} - \frac{v_1'}{v_1} \right] \left( 1 - \frac{v_1}{c_1} \right) - \frac{\partial c_2^*}{\partial t} = 0 \quad (2.12)$$

Получающееся в результате ускорения химической реакции смещение фронта горения в уравнении (2.12) обозначено через  $\varepsilon_2^*(t)$  в отличие от  $\varepsilon_2(t)$  в предыдущих формулах. Очевидно, что величины  $a = \partial \varepsilon_2 / \partial t$  и  $b = \partial \varepsilon_2^* / \partial t$  с точностью до множителя совпадают с величинами  $\Delta t$  и  $\Delta t_c$ , о которых шла речь в конце § 1. Тогда согласно (1.9) условием локальной неустойчивости фронта горения будет

$$a = b/a > 1 \quad (2.13)$$

Ограничимся для простоты случаем сильной детонационной волны в режиме Жуге. Предположим также, что  $\gamma_1 = \gamma_2 = \gamma$ ; так что  $h_1 = h_2 = h$ . Условие (2.13) примет вид

$$\alpha = \frac{b}{a} = \frac{(h+2)(h-1)(Vh+1-1)(\mu + Vh+1)}{(h+1)[(h+2)(h-1) + 2Vh+1]} > 1 \quad (\mu = \gamma M + (\gamma-1)N)$$

Неравенство (2.14) выполняется, если

$$\mu > \frac{(h+3)(h+1+Vh+1)}{(h+2)(h-1)} \quad (2.15)$$

Если  $M = 0$  (т. е. период индукции не зависит от давления), то фронт горения в рассматриваемой модели будет неустойчив, когда

$$N = \frac{\partial \ln f}{\partial \ln T} = \frac{E}{RT_s} > \frac{(h+3)(h+1+Vh+1)}{2(h+2)} \quad (2.16)$$

Заметим, что для  $\gamma = 7/5$  ( $h = 6$ ),  $\gamma = 9/7$  ( $h = 8$ ),  $\gamma = 11/9$  ( $h = 10$ ) правая часть неравенства (2.16) равна соответственно 5.4, 6.6, 7.7.

Интересно отметить, что неравенство (2.15) в точности совпадает с условием неустойчивости, полученным в [6], формула (14)]. Объясняется это тем, что характеристическое уравнение (12), полученное в [6], для нормальной детонационной волны, пригодно и в том предельном случае, когда, с одной стороны, в силу малости волнового числа  $k_0$  возмущения можно считать одномерными, а, с другой стороны, при очень больших периодах индукции можно пренебречь взаимодействием фронта горения и фронта ударной волны. Приведенные выше соображения показывают, что при выполнении неравенства (2.15) по крайней мере для  $k_0 = 0$  не имеет смысла находить собственные частоты по уравнению (12) из [6], так как в этом случае развитие возмущений определяется временем реакции  $\tau_2$ .

Поступила 5 VIII 1963

#### ЛИТЕРАТУРА

1. Зельдович Я. Б. К теории распространения детонации в газообразных системах. Ж. эксперим. и теор. физ., 1940, 10, стр. 542.
2. Dörging W. Über der Detonation-vorgang in Gasen. Ann. Physik, 1943, vol. 43.
3. Neumann J. v. Theory of detonation waves. OSRD, 1942, rep. No 549.
4. Щелкин К. И. Два случая неустойчивого горения. Ж. эксперим. и теор. физ., 1959, т. 36, вып. 2, стр. 600.
5. Зельдович Я. Б., Компаниец А. С. Теория детонации: Гостехиздат, 1955.
6. Зайдель Р. М. Об устойчивости детонационных волн в газовых смесях. Докл. АН СССР, 1960, т. 136, № 5.
7. Пухначев В. В. Об устойчивости детонации Чепмена — Жуге. Докл. АН СССР, 1963, т. 149, № 4, стр. 798.
8. Денисов Ю. Н., Трошина Я. К. Пульсирующая и спиновая детонация газовых смесей в трубах. Докл. АН СССР, 1959, т. 125, № 1, стр. 110.
9. Дремин А. Н., Розанов О. К., Трофимов В. С. О механизме детонации жидких взрывчатых веществ. ПМТФ, 1963, № 1, стр. 130.
10. Войдеховский Б. В. Стационарная детонация. Докл. АН СССР, 1959, т. 129, № 6, стр. 1254.